



*Universidad de Los Andes*  
Mérida - Venezuela

Postgrado en Física Fundamental  
Area de Caos y Sistemas Complejos

# Transiciones de sincronización en flujos caóticos

M.Sc. Gilberto Paredes

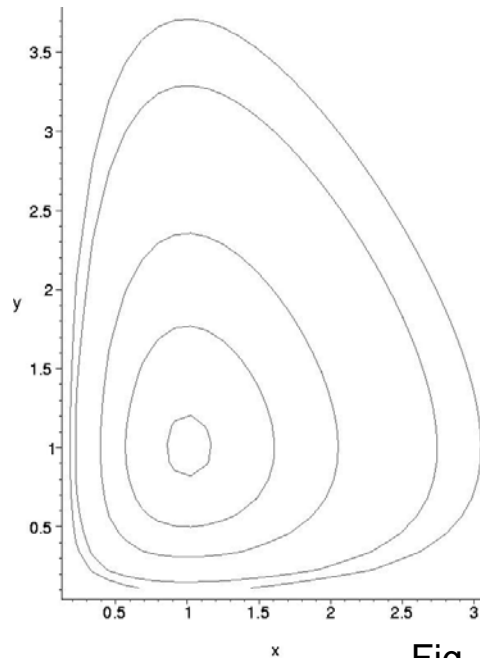
# Condiciones para el Caos en sistemas continuos

- Sistemas de ecuaciones diferenciales lineales tienen solución en términos funciones elementales (superposición).

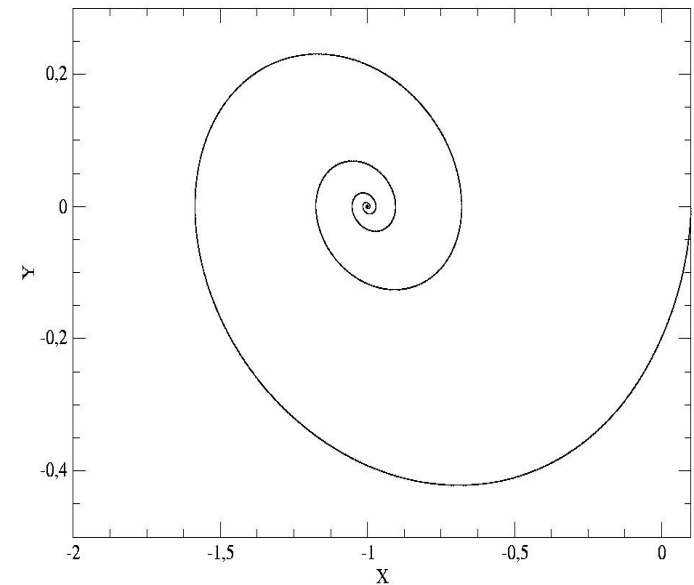
- **Teorema de Poincaré-Bendixson**

Únicos estados asintóticos de sistemas dinámicos de 2 variables son:

Ciclos límites



Puntos fijos



$$\dot{x} = f(x, y)$$

$$\dot{y} = g(x, y)$$

Flujo: Trayectoria en el espacio de fases de un sistema dinámico

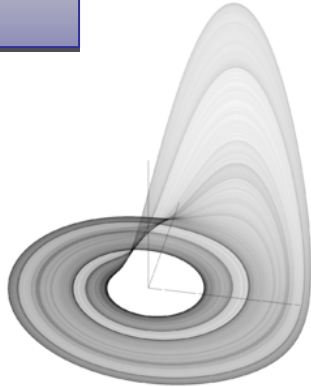
Fig. 1. Sistemas de dos variables.

**Caos requiere al menos 3 variables y una no linealidad**

# Modelos de EDOS que presentan caos

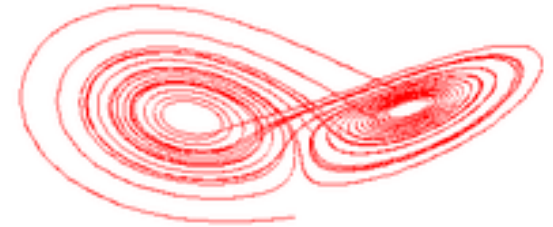
## (1) Rössler

$$\begin{aligned}\dot{x} &= -y - z \\ \dot{y} &= x + ay \\ \dot{z} &= b + z(x - c)\end{aligned}$$



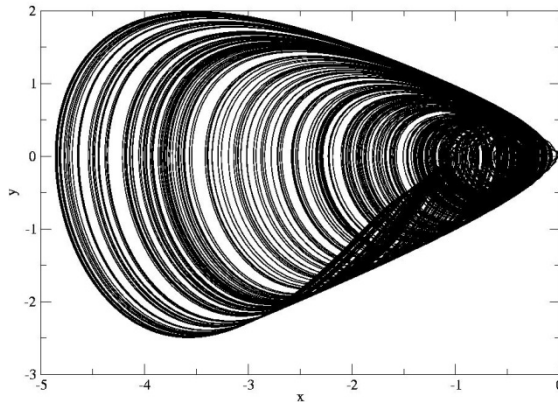
## (2) Lorenz

$$\begin{aligned}\dot{x} &= \sigma(y - x) \\ \dot{y} &= (r - z)x - y \\ \dot{z} &= xy - bz\end{aligned}$$

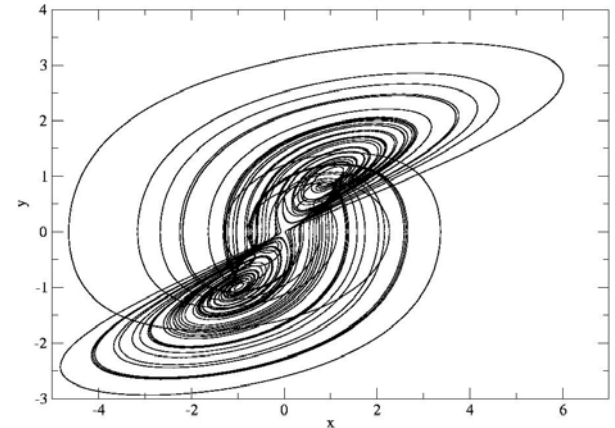


## (3) Sprott

$$\begin{aligned}\dot{x} &= -y \\ \dot{y} &= x + z \\ \dot{z} &= xz + 3y^2\end{aligned}$$



$$\begin{aligned}\dot{x} &= yz \\ \dot{y} &= x - y \\ \dot{z} &= 1 - xy\end{aligned}$$



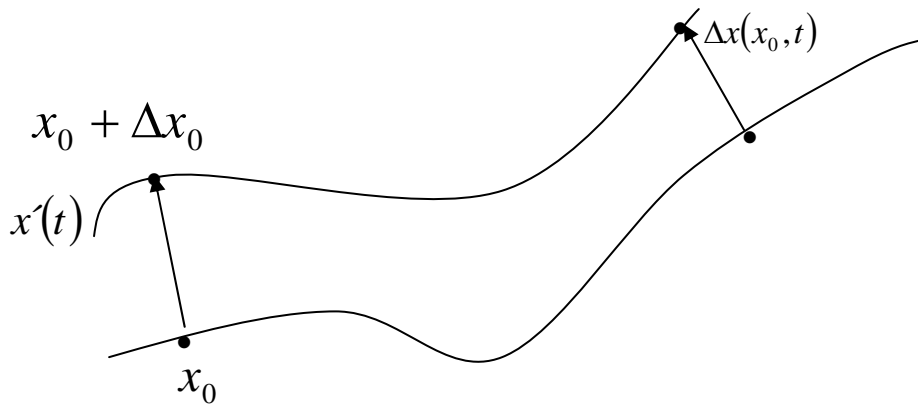
(1)O. E. Rössler. *Phys. Lett. A*, 57(5):397, 1976.

(2)E. N. Lorenz. *J. Atmos. Sci.*, 20:130–141, 1963.

(3)J.C Sprott. *Phys. Rev. E* **50**, 2 (1994)

# Exponentes de Lyapunov

## (1) Exponente de Lyapunov



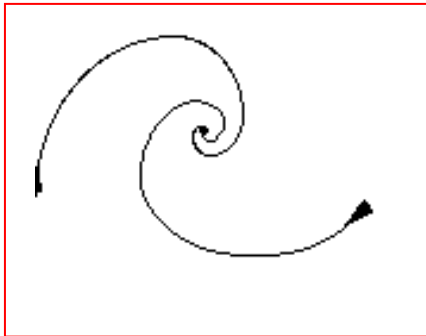
$$\lambda = \lim_{t \rightarrow \infty} \lim_{\Delta x_0 \rightarrow 0} \frac{1}{t} \ln \left( \frac{\Delta x(x_0, t)}{\Delta x_0} \right)$$

Espacio de fase  $n$  dimensional

$$\{\lambda_1, \lambda_2, \dots, \lambda_n\}$$

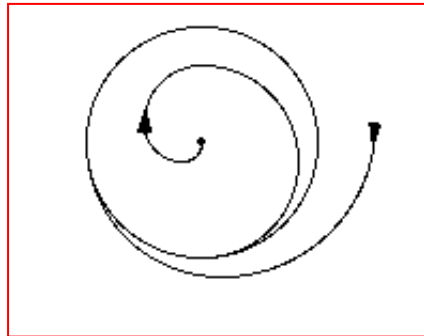
## Tipos de Orbitas

$x(t)$



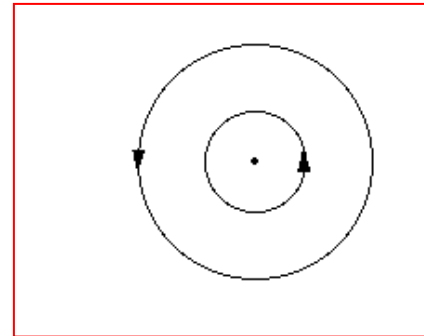
Disipativo  
Atracción a un punto fijo

$$\lambda < 0$$



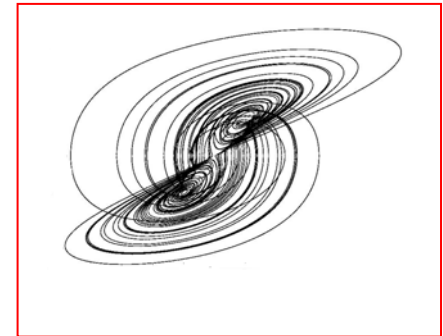
Disipativo  
Atracción a una orbita

$$\lambda < 0$$



Conservativo  
Neutral

$$\lambda = 0$$

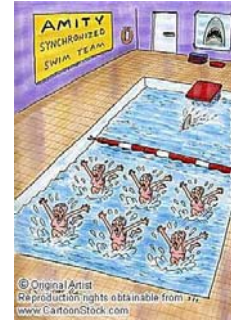


Caótico  
inestable

$$\lambda > 0$$

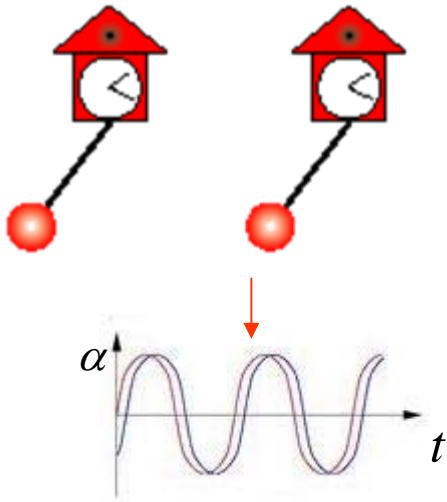
# Sincronización

Ajuste de ritmos debido a su interacción.

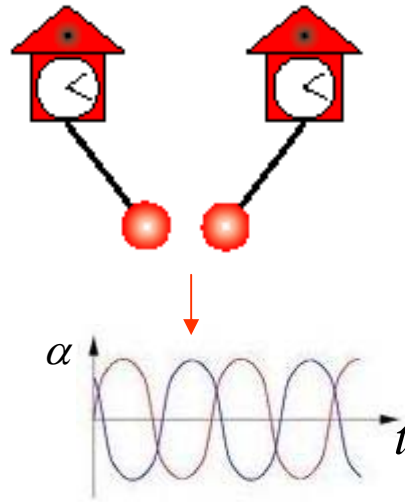


• Algunos estados de sincronización

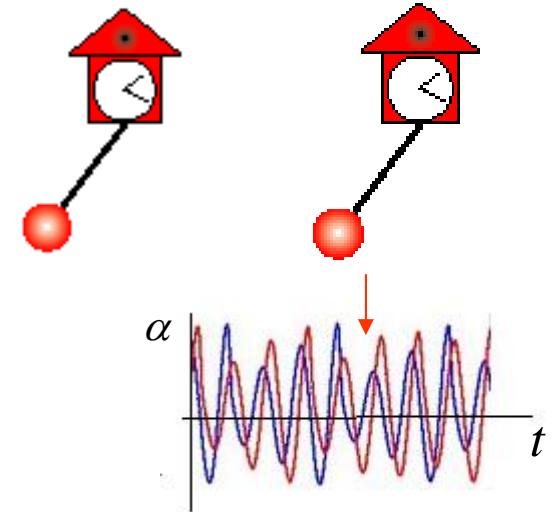
• En fase



• Antifase



• Sin sincronía



• Sincronización en sistemas continuos

$$\dot{x}_n = f(x_n)$$

$$x_1(t) = x_2(t) = \dots = x_n(t) = x(t)$$

# Acoplamiento Maestro-Esclavo(1)

## Las diferencias

$$\Delta w = v - V$$

$$v, y, V, \Delta w \rightarrow 0 \quad t \rightarrow \infty$$

$$\dot{u} = g(u, v) \quad \dot{v} = h(u, v) \quad (1)$$

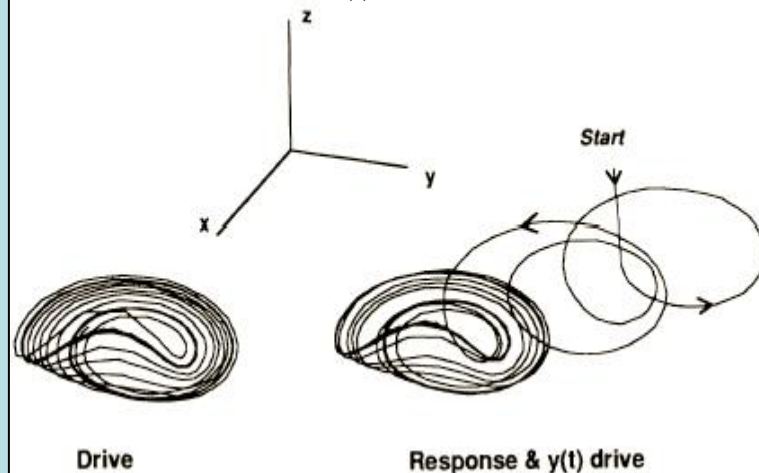
$$\dot{V} = g(u(t), V)$$

$V(t)$  converge  $v(t)$   $t \rightarrow \infty$

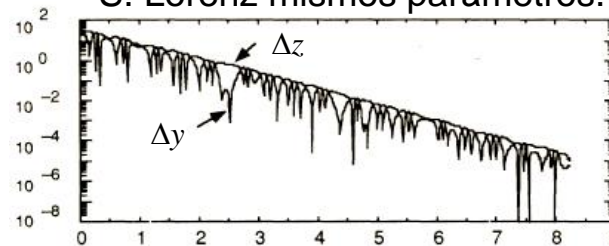
Fig.2. las diferencias  $(y'-y)$  y  $(z'-z')$  entre las variables Respuesta y su contraparte forzadora para el sistema de Lorenz. (a) Cuando los parámetros son los mismos. (b) parámetros distintos.

Sistema	Drive	Respuesta	Sub exp. De Lyapunov
Rossler	$x$	$(x, y)$	$(+0.2, -8.89)$
	$y$	$(x, z)$	$(-0.056, -8.81)$
	$z$	$(x, y)$	$(+0.1, +0.1)$
Lorenz	$x$	$(y, z)$	$(-1.81, -1.86)$
	$y$	$(x, z)$	$(-2.67, -9.99)$
	$z$	$(x, y)$	$(+0.0108, -11.01)$

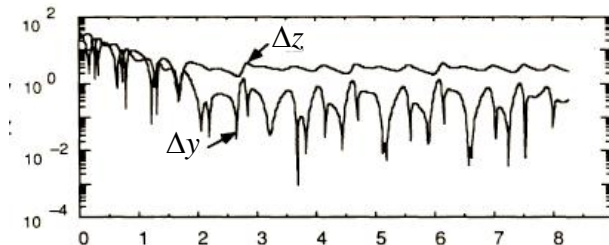
Fig.1. Los atractores para el sistema forzado de Rossler y el Sistema respuesta  $(x'-z')$  y la variable forzadora  $y(t)$ .



S. Lorenz mismos parámetros.



S. Lorenz diferentes parámetros.



(1) Pecora and Carrol. Phys. Rev, L. 64 (8): 1995.

# Acoplamiento con el ambiente<sup>(1)</sup>

El medio ambiente

<sup>(1)</sup>G. Katriel, Physica D. 237, 2933 (2008)



La función de acoplamiento tiene una dinámica de modulación sobre los sistemas dinámicos.

Modelo matemático

$$\dot{x}_k = f(x_k, y) \quad 1 \leq k \leq n$$

$$\dot{y} = g(y) + \frac{\beta}{n} \sum_{j=1}^n h(x_j, y)$$

$$\beta = \frac{nV_{cell}}{V_{ext}}$$

$V_{cell}$  Volumen celda individual  
 $V_{ext}$  Volumen del ambiente externo

Sistemas biológicos<sup>(2)</sup>

<sup>(2)</sup> A. Goldbeter, 'Biochemical Oscillations and Cellular Rhythms', Cambridge U. Press (Cambridge), 1996

$x_k$  Vector cuyas componentes son las concentraciones (moles/v) de varias especies bioquímicas  
 $y$  Vector de concentraciones de varias especies bioquímicas en el exterior de las células

En general, tales casos ocurren debido a la interacción con el medio común de los sistemas dinámicos. Nos referimos a tales sistemas como un acoplamiento través del Medio común o environment.

# Sistemas caóticos acoplados a un ambiente común <sup>(1)</sup>

## Acoplamiento a través del ambiente

Rössler

$$\dot{x}_{i1} = -x_{i2} - x_{i3} + \beta_i y$$

$$\dot{x}_{i2} = -x_{i1} + ax_{i2}$$

$$\dot{x}_{i3} = b + x_{i3}(x_{i1} - c)$$

$$\dot{y} = -ky - \frac{\varepsilon}{2} \sum_{i=1,2} \beta_i x_{i1}$$

$(\beta_1, \beta_2) = (1, 1)$  AS     $(\beta_1, \beta_2) = (1, -1)$  PS

$a = b = 0.1, c = 18$

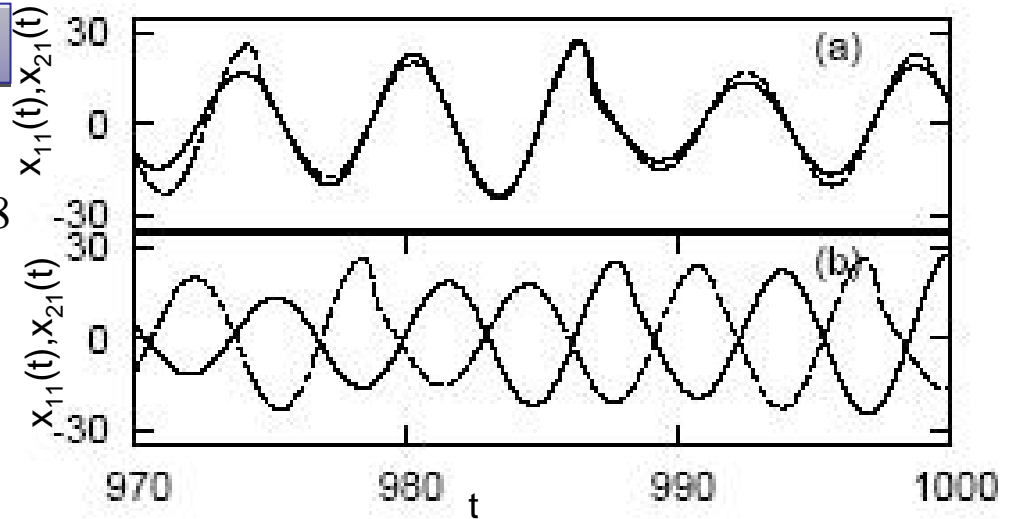


Fig. 1. Series de tiempo de la primera variable  $x_{i1}$  de dos osciladores de Rossler acoplados con el ambiente. (a) Sincronización en fase ( $\varepsilon_1 = \varepsilon_2 = 0.2, \beta_1 = -\beta_2 = 1$ ) (b) Sincronización en antifase  $\varepsilon_1 = \varepsilon_2 = 0.2, \beta_1 = \beta_2 = 1$ .

## Exponentes de Lyapunov

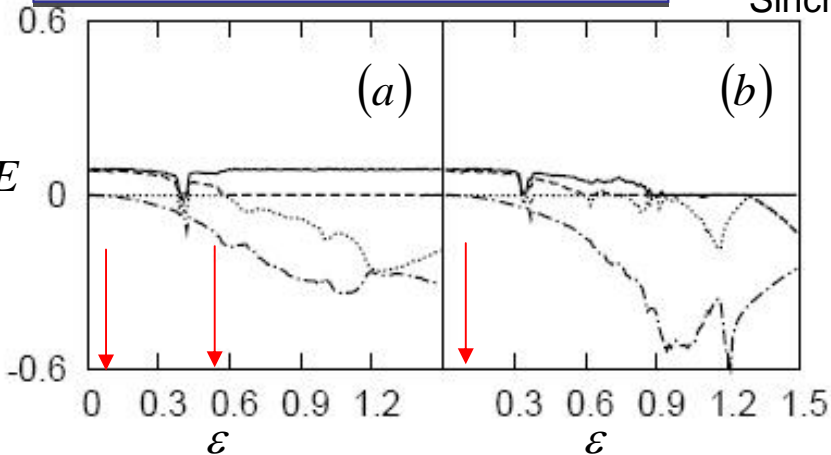


Fig.2. Los cuatro exponente mas grades de Lyapunov (LE) En función de la intensidad de acoplamiento  $\varepsilon$  de los dos sistemas de Rössler acoplados a través de un ambiente.

<sup>(1)</sup> V. Resmi et al. Phys. Rev. E81. (2010)

# Modelos

## Acoplamiento a través del ambiente

- $\dot{x}_{i1} = \sigma(x_{i2} - x_{i1}) + \varepsilon_1 \beta_i y$
- $\dot{x}_{i2} = (r - x_{i3})x_{i1} - x_{i2}$
- $\dot{x}_{i3} = x_{i1}x_{i2} - bx_{i3}$
- $\dot{y} = -ky - \frac{\varepsilon}{2} \sum_{i=1,2} \beta_i x_{i1}$

$\gamma_1 = 1, \gamma_i = 0$  para  $i \neq 1$

**Lorenz**

$$\sigma = 10, r = 28, b = \frac{8}{3}$$

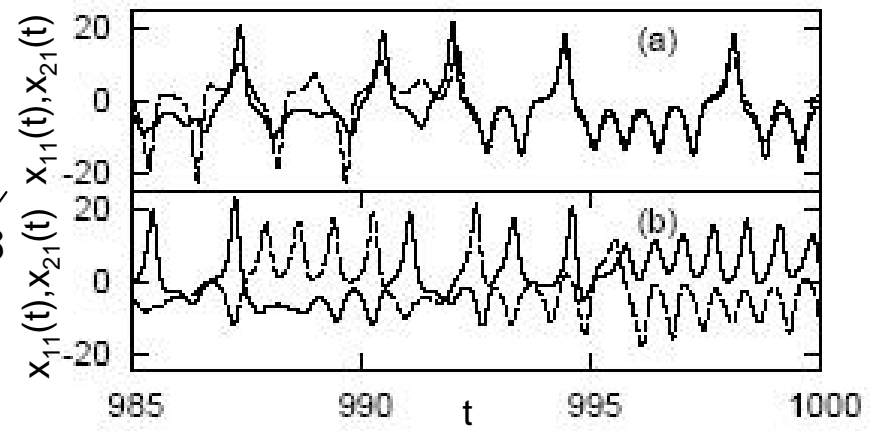


Fig. 2. Series de tiempo de la primera variable  $x_{i1}$  de dos osciladores de Lorenz acoplados con el ambiente. (a) Sincronización en fase ( $\varepsilon_1 = \varepsilon_2 = 9.0, \beta_1 = -\beta_2 = 1$ ) (b) Sincronización en antifase  $\varepsilon_1 = \varepsilon_2 = 8.0, \beta_1 = \beta_2 = 1$ .

## Exponentes de Lyapunov

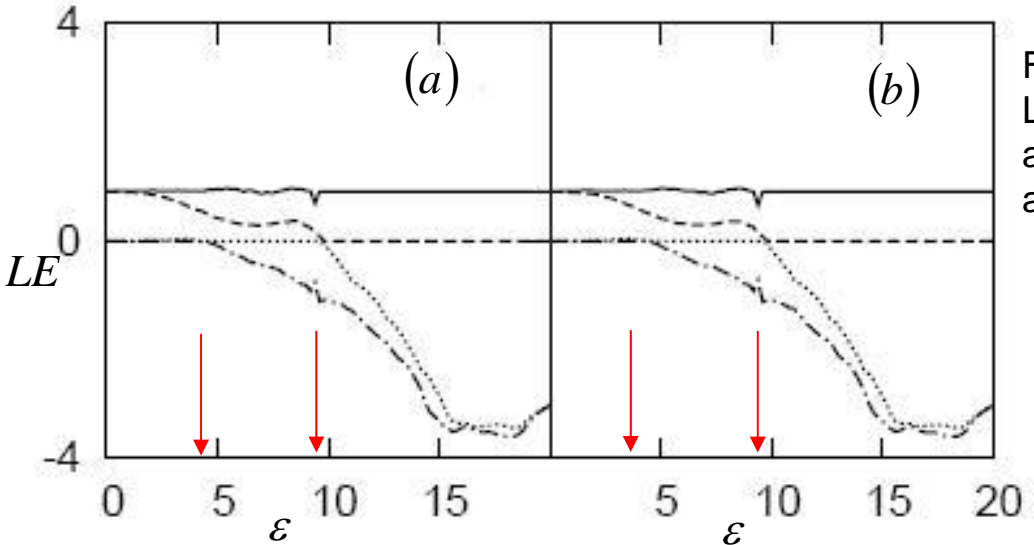


Fig.2. Los cuatro exponente mas grades de Lyapunov (LE) En función de la intensidad de acoplamiento  $\varepsilon$  de los dos sistemas de Lorenz acoplados através de un ambiente.

# Modelos

## Modelo neuronal Hindmarsh-Rose

$$\dot{x}_{1,2} = y_{1,2} + ax_{1,2}^2 - x_{1,2}^3 - z_{1,2} + I + \varepsilon_1 \beta_{1,2} w$$

$$\dot{y}_{1,2} = 1 - bx_{1,2}^2 - y_{1,2}$$

$$\dot{z}_{1,2} = -rz_{1,2} + sr(x_{1,2} + c)$$

$$\dot{w} = -kw - \frac{\varepsilon}{2} \sum_{i=1,2} \beta_i x_{i1}$$

## Van der Pol

$$\ddot{v}_k + (v_k^2 - 1)\dot{v}_k + v_k = y, \quad 1 \leq k \leq 3$$

$$\dot{y} = -y + \frac{\beta}{3}(v_1 + v_2 + v_3).$$

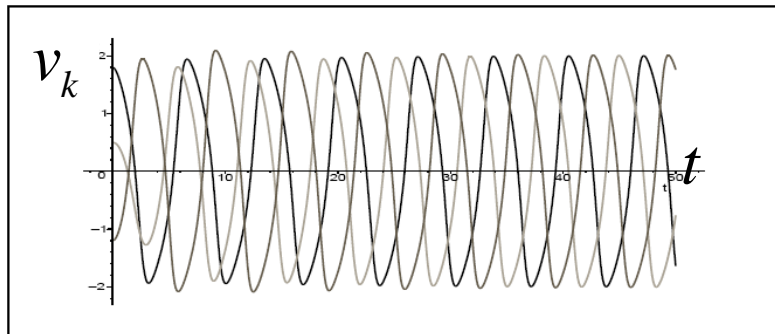


Fig2.  $v_k(t)$  vs.  $t$  para  $\beta = -0.5$

$$a = 3, b = 5, r = 0.005, s = 4, c = 1.6, I = 3.05$$

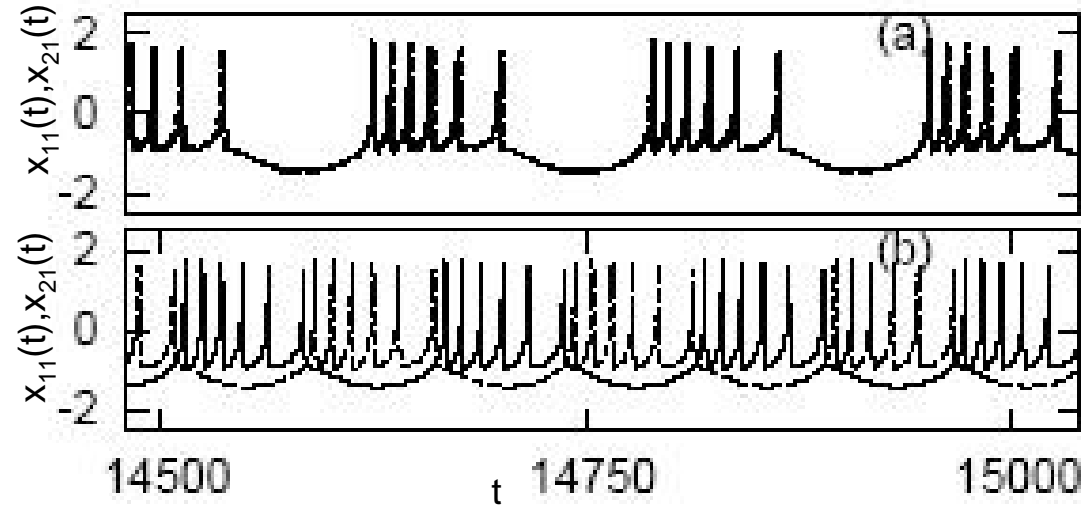


Fig. 1. Series de tiempo de la primera variable  $x_{i1}$  de dos osciladores de Hindmarsh Rose acoplados con el ambiente. (a) Sincronización en fase ( $\varepsilon_1 = \varepsilon_2 = 0.4, \beta_1 = -\beta_2 = 1$ ) (b) Sincronización en antifase ( $\varepsilon_1 = \varepsilon_2 = 0.4, \beta_1 = \beta_2 = 1$ ).

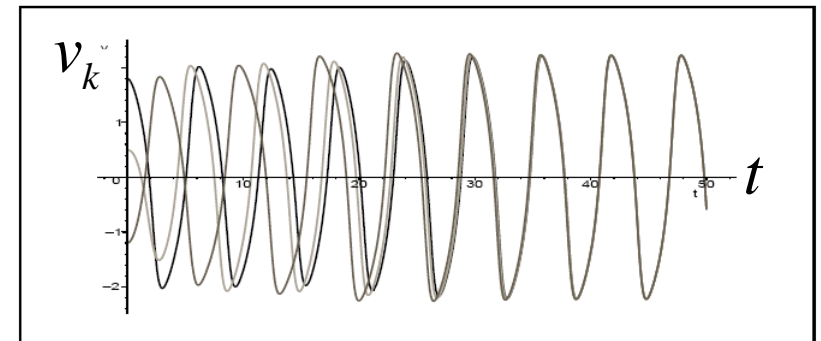
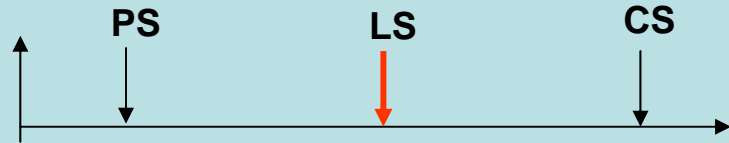


Fig3.  $v_k(t)$  vs.  $t$  para  $\beta = 0.5$

# Simulación numérica LS<sup>1</sup>

## (1) Sincronización con retardo



Si uno de ellos es desplazado en el tiempo

$$x_1(t) \approx x_2(t - \tau)$$

$$S^2(\tau) = \frac{\langle [x_2(t + \tau) - x_1(t)]^2 \rangle}{\langle x_1^2(t) \rangle \langle x_2^2(t) \rangle}^{1/2}$$

**Caracterizar LS**

$$x_1 \neq x_2 \Rightarrow S(\tau) \approx 1 \quad \forall \tau$$

$$x_1 = x_2 \Rightarrow \sigma = 0 \text{ para } \tau = 0 \quad \text{SC}$$

## Sistema de Rössler

$$\dot{x}_{1,2} = -\omega_{1,2}y_{1,2} - z_{1,2} + \varepsilon(x_{2,1} - x_{1,2})$$

$$\dot{y}_{1,2} = \omega_{1,2}x_{1,2} + ay_{1,2}$$

$$\dot{z}_{1,2} = f + z_{1,2}(x_{1,2} - c)$$

$a = 0.165, c = 10, f = 0.2$   
 $\omega_{1,2} = \omega_0 \pm \Delta$   
 $\omega_0 = 0.97 \quad \Delta = 0.02$

- D
- 1:  $\varepsilon = 0.01$
  - 2:  $\varepsilon = 0.015$
- I
- 3:  $\varepsilon = 0.05$
  - 4:  $\varepsilon = 0.075$
- F
- 5:  $\varepsilon = 0.15$
  - 6:  $\varepsilon = 0.2$

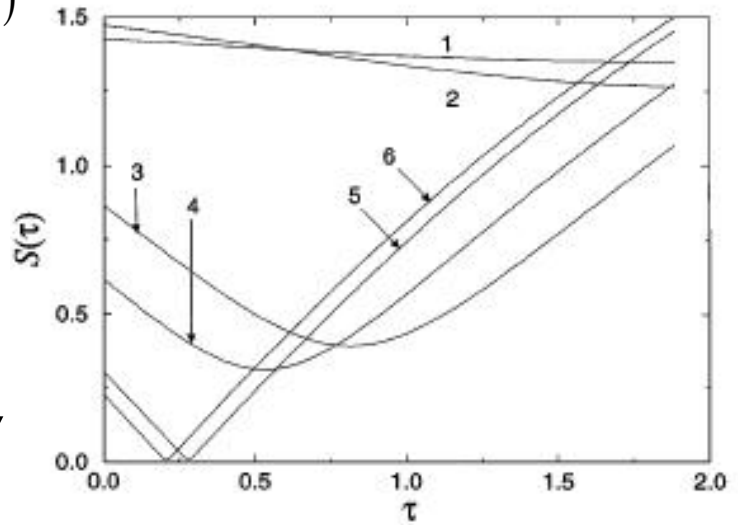


Fig. 1. Función de similaridad  $S(\tau)$  para diferentes valores de la intensidad de acoplamiento.  $\varepsilon$

(1) M.G. Rosenblum et al. Phys. Rev. Lett 78. (1997)

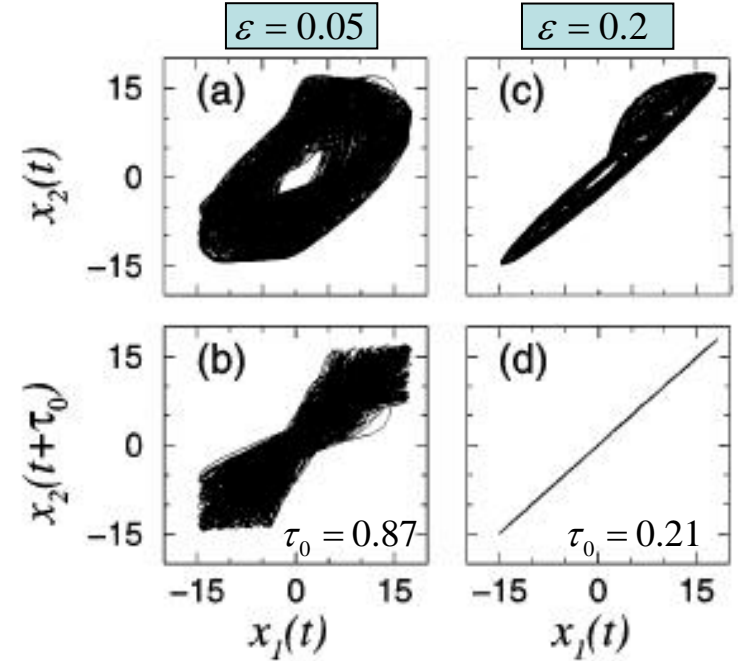


Fig. 2. Régimen de sincronización en fase y retardo.

# Transition entre los diferentes tipos de Sinc.

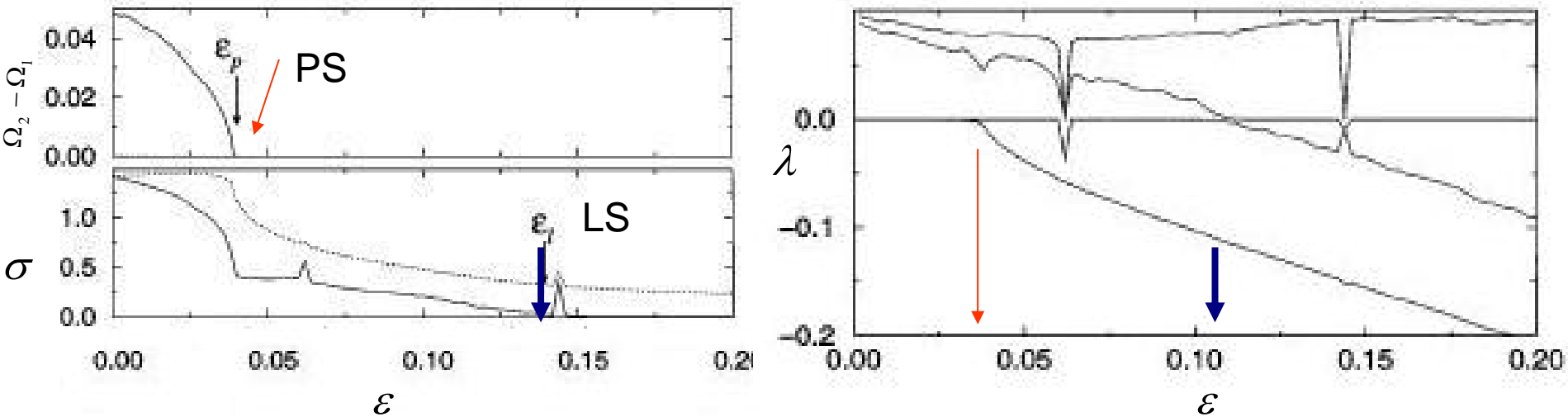


Fig. 1. Diferencia de frecuencias  $\Omega_1 - \Omega_2$ , mínimo de la función de similaridad  $\sigma$ , y los cuatro exponentes mas grandes de Lyapunov  $\lambda$  de los dos sistemas acoplados de Rossler vs el acoplamiento  $\varepsilon$

**LS** aparece como una coincidencia del corrimiento en el tiempo de los dos estados del sistema.

$$x_1(t + \tau_0) = x_2(t)$$

# Colapso de Amplitud. (AD)<sup>1</sup>

## Osciladores de Landau-Stuart

$$\dot{z} = (1 + i\omega - |z|^2)z$$

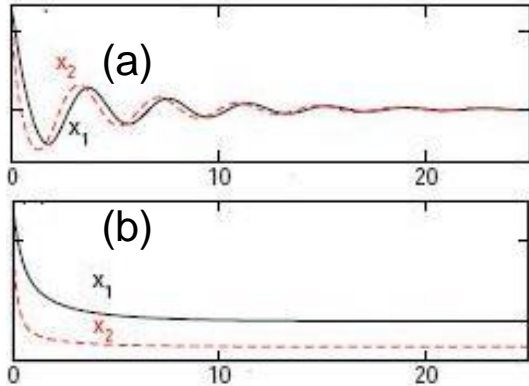


Fig. 1 Componentes  $x$  de los dos osciladores mostrando AD. (a) con oscilación  $\varepsilon = 1.25$  y (b) decrecimiento de la amplitud en  $\varepsilon = 2.75$ .

## Recientemente 2011

$$(2) \quad \begin{aligned} \dot{x}_i(t) &= -y_i(t) - z_i(t) \\ \dot{y}_i(t) &= x_i(t) + (a - \varepsilon)y_i(t) + \varepsilon\bar{y}(t - \tau) \\ \dot{z}_i(t) &= b + z_i(t)[x_i(t) - c] \end{aligned} \quad \bar{y} = \frac{1}{N} \sum_{i=1}^N y_i(t)$$

$$a = 0.25 \quad b = 0.56 \quad c = 7.74$$

<sup>(1)</sup> **Amplitude death in coupled chaotic oscillators**  
Awadhesh Prasad. Phys. Rev. E72. (2005)

## Osciladores de Lorenz

$$(1) \quad \begin{aligned} \dot{x}_i(t) &= 10(y_i(t) - x_i(t)) \\ \dot{y}_i(t) &= x_i(t)z_i(t) - y_i(t) + \varepsilon(x_j(t) - y_i(t)) \\ &\quad \text{for } i, j = 1, 2, i \neq j \\ \dot{z}_i(t) &= x_i(t)y_i(t) - \frac{8}{3}z_i(t) \end{aligned}$$

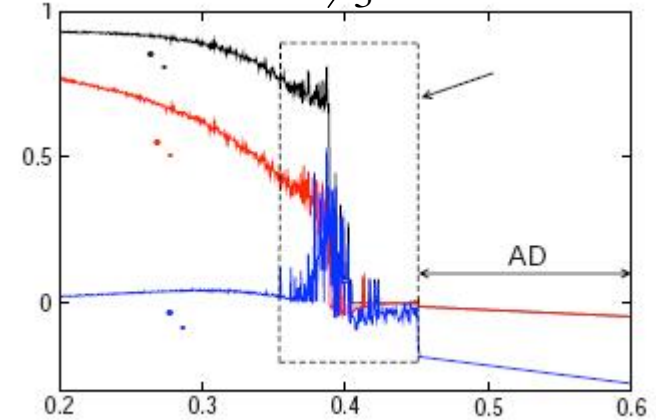


Fig.2 Los tres exponentes de Lyapunov mas grandes en función de  $\varepsilon$  para los osciladores (1).

“muerte” de la amplitud

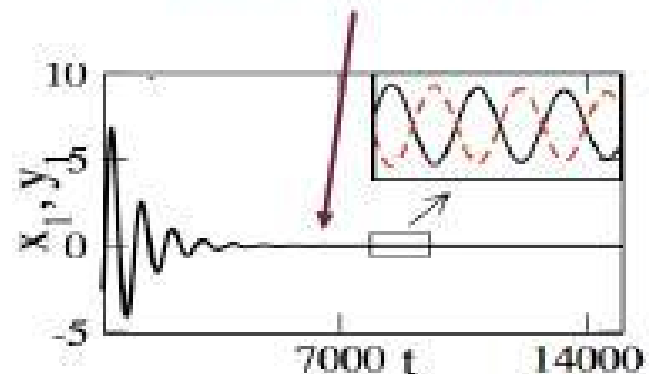


Fig. 3. Series de tiempo de  $x, y$  de (2).

# Conclusiones

---

- La sincronización en sistema maestro esclavo es lograda solo si los sub-exponentes de Lyapunov del subsistema esclavo son negativos
- Se encuentra que dos sistemas caóticos pueden sincronizarse a través de un ambiente común. El mecanismo de acoplamiento es general y puede ser ajustado para obtener sincronización (Completa, en fase, antifase).
- La transición entre los diferentes tipos de sincronización están relacionados a cambios en el espectro de Lyapunov.
- Para acoplamientos grandes, se observa la sincronización con retardo.
- El retardo induce AD en osciladores globalmente acoplados